

АКАДЕМИЯ НАУК СССР
СИБИРСКОЕ ОТДЕЛЕНИЕ
А В Т О М Е Т Р И Я

№ 3

1987

СИСТЕМЫ АВТОМАТИЗАЦИИ ЭКСПЕРИМЕНТА

УДК 535.36 : 517.9 : 681.3 : 53

И. Г. ЕРИШ, Л. С. МУРАТОВ, С. Ю. НОВОЖИЛОВ, Б. М. ШТОКМАН,
М. И. ШТОКМАН
(Новосибирск)

АВТОМАТИЗИРОВАННЫЙ ЛАЗЕРНЫЙ ФОТОН-КОРРЕЛЯЦИОННЫЙ СПЕКТРОМЕТР (АППАРАТУРА, АЛГОРИТМЫ ОБРАБОТКИ ДАННЫХ И ПРОГРАММЫ)

Введение. Наиболее перспективным направлением спектроскопии квазиупругого рассеяния является фотон-корреляционная спектроскопия: рассеянный свет регистрируется фотоэлектронным умножителем — счетчиком фотонов; фотоотсчеты вводятся в специализированный процессор (коррелятор), определяющий их взаимно- или автокорреляционную функцию. Она, как известно [1], линейно связана с функцией корреляции флуктуаций интенсивности света $G^{(E)}(t)$.

В настоящей работе описан автоматизированный фотон-корреляционный спектрометр на базе широко распространенной техники: аппаратуры в стандарте КАМАК и микроЭВМ типа «Электроника 60» (комплекс микроКАМАКлаб). Подобный прибор разработан впервые в СССР. Для обработки поступающей информации в нем реализован новый алгоритм нерегуляризующего типа для решения некорректной обратной задачи корреляционной спектроскопии. Этот алгоритм ориентирован на определение распределения рассеивающих частиц по размерам и основан на усреднении методом Монте-Карло по начальным данным.

1. Фотон-корреляционный спектрометр (аппаратура). На рис. 1 приведена схема оптической части спектрометра. Источник излучения 1 — гелий-неоновый лазер ЛГ-79-1. Известно [1, 2], что в методе фотон-корреляционной спектроскопии зондирующий лазерный пучок должен быть свободен от флуктуаций по интенсивности с временами порядка характерных времен исследуемых процессов. Поэтому применена система [3] активной стабилизации мощности зондирующего пучка. На рис. 1 показано, что от исходного лазерного пучка в акустооптическом модуляторе 4 отщепляется зондирующий пучок, мощность которого поддерживается

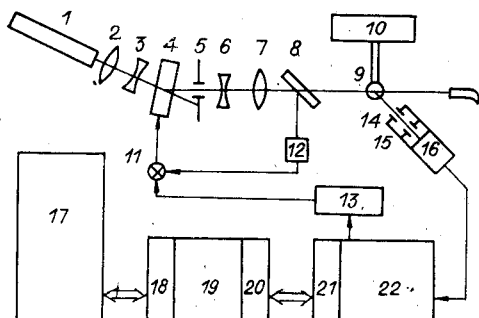


Рис. 1. Схема корреляционного спектрометра:

1 — лазер ЛГ-79-1; 2, 3, 6, 7 — линзы направляющей оптики; 4 — акустооптический модулятор МЛ-201; 5, 14, 15 — диафрагмы; 8 — плоскопараллельная пластинка; 9 — кювета с образцом; 10 — устройство подачи кювет; 11 — управляемый аттенюатор; 12 — фотоаппарат; 13 — высокочастотный генератор; 16 — ФЭУ, работающий в режиме счета фотонов; 17 — ЭВМ (комплект МЕРА-60 с процессором «Электроника 60»); 18 — крейт-контроллер; 19 — крейт КАМАК; 20, 21 — интерфейсные модули; 22 — коррелятор фотоотсчетов в конструктиве КАМАК

рующего луча отражается плоскопараллельной пластинкой δ на фотодиод 12 . Напряжение на выходе дифференциального усилителя, пропорциональное разности сигнала с фотодиода и стабильного опорного источника, поступает на управляющий вход регулируемого аттенюатора 11 . Мощность проходящего через аттенюатор на модулятор 4 сигнала радиочастотного генератора 13 (частота 80 МГц, мощность 4 Вт) изменяется таким образом, чтобы интенсивность дифрагированного света была постоянной. Использование в качестве рабочего пучка именно дифрагированного излучения делает оптическую схему невзаимной, и лазер оказывается защищенным от паразитной обратной связи.

Линзами $6, 7$ пучок фокусируется в центр кюветы 9 с исследуемым раствором. Диаметр пучка в кювете около $0,2$ мм. Рассеянный образцом свет пропускается через полевую диафрагму 14 . Апертурная диафрагма 15 , установленная перед фотокатодом ФЭУ 16 , обеспечивает освещение участка фотокатода, приблизительно равного одной площадке когерентности. ФЭУ, линза и система диафрагм установлены на поворотном плече гониометра, а кювета с исследуемым раствором — строго в центре неподвижного столика гониометра. Кюветы — высококачественные цилиндрические пробирки из кварца диаметром $2,5$ мм.

Электронная часть корреляционного спектрометра включает блок фотоприемника, коррелятор фотоотсчетов, КАМАК-интерфейс для связи с ЭВМ «Электроника 60». В блоке фотоприемника применен специально отобранный по методике [4] экземпляр ФЭУ-100 в режиме счета фотонов. Электрические импульсы выхода ФЭУ длительностью по основанию около 10 нс поступают на вход токового предусилителя с полосой пропускания $0—200$ МГц и коэффициентом передачи 2 В/мА. Предусилитель размещен в непосредственной близости от ФЭУ в одном с ним корпусе из магнитомягкой стали. Усиленные одноэлектронные импульсы поступают на двухуровневый дискриминатор. Верхний и нижний уровни дискриминации определяются по форме амплитудного распределения одноэлектронных импульсов конкретного ФЭУ [4]. Прошедшие импульсы стандартизируются по амплитуде ($2,5$ В), а также по длительности (25 нс) и поступают на вход цифрового коррелятора. Последний работает по схеме с одноканальной привязкой [5]; его построение в основном соответствует ранее опубликованному описанию [6].

Основные технические характеристики коррелятора: время выборки t_1 от 40 нс до 20 мс; число каналов коррелятора 48 и дополнительно 7 каналов для определения базовой линии с задержкой $78 t_1$ перед первым из них (имеется возможность наращивания числа каналов: 24 канала на модуль КАМАК 4М); автоматическая установка уровня привязки в пределах от 0 до 100 с временем усреднения от $4t_1$ до $1024t_1$; емкость каждого канала накопителя 24 двоичных разряда.

2. Теория и алгоритмы обработки данных. Известно, что в случае гауссовой статистики флуктуаций интенсивности рассеянного излучения корреляционная функция, измеренная методом одноканальной привязки, совпадает с измеряемой полным (без привязки) коррелятором [1]. При рассеянии на системе случайно расположенных в пространстве многих частиц статистика флуктуаций является гауссовой. Более того, в настоящих экспериментах совпадение корреляционных функций имеет место безотносительно к статистике флуктуаций, поскольку среднее число фотоотсчетов за время выборки мало и последовательность фотоотсчетов после привязки практически совпадает с точной.

Для используемого в настоящей работе при фотоприеме режима савибений теоретическое выражение нормированной корреляционной функции фотоотсчетов имеет вид

$$g^{(2)}(t) = [g^{(1)}(t)]^2, \quad (1)$$

где $g^{(1)}$ — автокорреляционная функция амплитуд поля. Для диффундирующих полидисперсных рассеивателей, на изучение которых ориентирован рассматриваемый спектрометр, $g^{(1)}$ представляется в виде

$$g^{(1)}(t) = \int_0^\infty P(\Gamma) e^{-\Gamma t} d\Gamma, \quad (2)$$

где $P(\Gamma)$ — распределение частиц по скорости диффузационной релаксации $\Gamma = Dq^2$; D — коэффициент диффузии; q — волновой вектор рассеяния. Величины (2) нормированы согласно

$$g^{(1)}(0) = 1; g^{(1)}(\infty) = 0; \int_0^\infty P(\Gamma) d\Gamma = 1. \quad (3)$$

Обратная задача корреляционной спектроскопии заключается в нахождении распределения $P(\Gamma)$ по накопленной в корреляторе оценке автокорреляционной функции второго порядка $G^{(E)}(t)$. Для решения этой задачи производится минимизация функционала

$$\chi^2 = \sum_{j=1}^M \frac{1}{\sigma_j^2} [g^{(E)}(t_j) - g^{(2)}(t_j)]^2, \quad (4)$$

где t_j — задержка по времени j -го канала коррелятора (число каналов $M = 55$); $g^{(E)}$ — оценка нормированной экспериментальной коррелограммы:

$$g^{(E)}(t_j) = AG^{(E)}(t_j) + B; \quad (5)$$

A — нормировочный множитель; B — сдвиг «нулевой линии»; σ_j — стандартное отклонение случайной величины $g^{(E)}(t_j)$.

Значение χ^2 — квадратичная форма от A , B . Поэтому значения A , B легко находятся в общем виде:

$$\begin{aligned} A &= d_A/d; B = d_B/d; d \equiv \langle G^{(E)2} \rangle - \langle G^{(E)} \rangle^2; \\ d_A &\equiv \langle g^{(2)}G^{(E)} \rangle - \langle g^{(2)} \rangle \langle G^{(E)} \rangle; \\ d_B &\equiv \langle G^{(E)2} \rangle \langle g^{(2)} \rangle - \langle g^{(2)}G^{(E)} \rangle \langle G^{(E)} \rangle, \end{aligned} \quad (6)$$

где $\langle \dots \rangle$ среднее по каналам коррелятора, для произвольной функции времени $F(t)$ определенное формулой

$$\langle F \rangle \equiv \frac{1}{M} \sum_{j=1}^M \frac{1}{\sigma_j^2} F(t_j). \quad (7)$$

После нахождения A , B согласно (6) величина χ^2 остается функционалом от P . Нахождение последнего сводится к обратному преобразованию Лапласа функции $\tilde{g}^{(E)}$, заданной только на отрезке действительной оси. Это преобразование, в свою очередь, сводится к решению уравнения Фредгольма I рода, что является некорректной задачей [7].

Введем базисный набор распределений $P_i(\Gamma)$, так что

$$P(\Gamma) = \sum_{i=1}^N n_i P_i(\Gamma), \quad (8)$$

где P_i нормированы так же, как и P (см. (3));

$$n_i \geq 0, \sum_{i=1}^N n_i = 1. \quad (9)$$

Величины n_i могут интерпретироваться как доли от полного числа частиц, имеющих распределения P_i . Корреляционная функция $g^{(1)}$ (2) выра-

жается в виде

$$g^{(1)}(t) = \sum_{i=1}^N n_i g_i(t); \quad g_i(t) = \int_0^\infty P_i(\Gamma) e^{-\Gamma t} d\Gamma. \quad (10)$$

После введения базиса (8), (10) решение обратной задачи корреляционной спектроскопии сводится к минимизации χ^2 (4) по N величинам n_i . Удобно перейти к переменным

$$x_i = \sqrt{n_i}; \quad x^2 \equiv \sum_{i=1}^N x_i^2 = 1. \quad (11)$$

Значение x согласно (11) следует искать на поверхности единичной гиперсферы.

Минимизация χ^2 (4) по x_i осуществляется с помощью итеративной процедуры, основанной на методе скорейшего спуска. Пусть $\mathbf{x}^{(n)}$ — исходный вектор для данной итерации. Текущий вектор \mathbf{x} определяется согласно

$$\mathbf{x} = \mathbf{x}^{(n)} - l \nabla \chi^2, \quad (12)$$

где ∇ — оператор градиента; $l \geq 0$ — действительная переменная, так что функционал (4) становится функцией одной переменной l , минимум по которой ищется по методу удвоения шага. Значение x в минимуме принимается за следующий вектор $\mathbf{x}^{(n+1)}$. Далее итерации повторяются, пока они являются успешными, т. е. приводят к уменьшению χ^2 .

Вектор $\nabla \chi^2$ параллелен поверхности гиперсферы:

$$\mathbf{x} \nabla \chi^2 = 0; \quad \nabla_i \chi^2 = \sum_{k=1}^N \left(\delta_{ik} - \frac{x_i x_k}{x^2} \right) \frac{\partial}{\partial x_k} \chi^2. \quad (13)$$

Данное свойство обеспечивает в основном порядке сохранение нормы вектора \mathbf{x} :

$$\mathbf{x}^2 \approx \mathbf{x}^{(n)2} - 2l \mathbf{x}^{(n)} \nabla \chi^2 = \mathbf{x}^{(n)2}. \quad (14)$$

Таким образом, преимуществом выбора \mathbf{x} в качестве переменной является то, что направление, на котором χ^2 падает с максимальной скоростью, совместимо с условием сохранения нормы (9).

При тестировании алгоритма мы задавали функции $P_i(\Gamma)$ в виде «столбиков» гистограммы:

$$P_i(\Gamma) = \frac{1}{\Delta\Gamma} \Theta(\Gamma_{i+1} - \Gamma) \Theta(\Gamma - \Gamma_i); \quad \Delta\Gamma \equiv \Gamma_{i+1} - \Gamma_i = \text{const}, \quad (15)$$

где Θ — функция Хевисайда; Γ_i — $N+1$ значений в интервале от Γ_{\min} до Γ_{\max} . Соответствующие базисные функции, очевидно, имеют вид

$$g_i(t) = \frac{1}{t\Delta\Gamma} e^{-\Gamma_i t} (1 - e^{-t\Delta\Gamma}). \quad (16)$$

Помимо полной гистограммы распределение $P(\Gamma)$ оказалось удобным характеризовать также средним значением $\bar{\Gamma}$ и полушириной $\Delta\bar{\Gamma}$:

$$\bar{\Gamma} = \int_0^\infty \Gamma P(\Gamma) d\Gamma; \quad \Delta\bar{\Gamma} = \left[\int_0^\infty P(\Gamma) (\Gamma - \bar{\Gamma})^2 d\Gamma \right]^{1/2}. \quad (17)$$

Для оценки $\bar{\Gamma}$ применялся также независимый метод кумулянтов [8]. В начальной части коррелограммы при $t\bar{\Gamma} \ll 1$ разложение экспоненты дает

$$\ln g^{(2)}(t) \approx -2\bar{\Gamma}t. \quad (18)$$

Таким образом, нахождение $\bar{\Gamma}$ сводится к задаче линейной регрессии. Ее решение выполнялось по первым семи точкам коррелограммы, причем

приближенно полагалось:

$$A = [G^{(E)}(t_1) - G^{(E)}(t_M)]^{-1}; \quad B = -AG^{(E)}(t_M). \quad (19)$$

Рассмотренная выше задача минимизации не является линейной: функционал χ^2 (4) не квадратичен по переменным n_i . Однако можно найти другой функционал

$$\tilde{\chi}^2 = \sum_{j=1}^M \frac{4|g^{(E)}(t_j)|}{\sigma_j^2} [\sqrt{|g^{(E)}(t_j)|} - g^{(1)}(t_j)]^2, \quad (20)$$

где $g^{(E)}$ дается (5) при значениях констант (19). При $g^{(1)}$, определяемом формулой (10), $\tilde{\chi}^2$ — квадратичная форма от n_i . При условии

$$g^{(E)}(t_j) \gg \sigma_j, \quad (21)$$

функционал (20) близок к χ^2 (4) как по величине, так и по положению минимума.

Условие (21), очевидно, выполняется всюду, кроме «хвостов» коррелограммы, включение которых в сумму (20) таким образом незаконно. (Подобное условие не учтено в работе [9].) Можно лишь несколько улучшить точность, распространив суммирование в (20) на все точки коррелограммы, но заменив

$$\sqrt{|g^{(E)}(t_j)|} \rightarrow \text{sign}(g^{(E)}(t_j)) \sqrt{|g^{(E)}(t_j)|}.$$

Из квадратичности (20) по n_i следует, что приближенно справедлив принцип суперпозиции: любая линейная комбинация наборов $\{n_i\}$, являющихся приближенными решениями обратной задачи корреляционной спектроскопии, также будет приближенным (с той же точностью) решением. Данное заключение важно, поскольку вследствие некорректности задача близка к вырожденной: существует множество решений, почти эквивалентных по величине $\tilde{\chi}^2$ (см. ниже численное исследование).

Величину $\tilde{\chi}^2$ (20) можно, очевидно, переписать в эквивалентном виде

$$\tilde{\chi}^2 = a + \sum_{i=1}^N n_i b_i + \sum_{i,k=1}^N n_i n_k c_{ik}, \quad (22)$$

где a , b_i , c_{ik} — не зависящие от $\{n_i\}$ скаляр, вектор (длины N) и матрица ($N \times N$) соответственно;

$$\begin{aligned} a &= -4 \sum_{j=1}^M \left[\frac{g^{(E)}(t_j)}{\sigma_j} \right]^2; \quad b_i = -8 \sum_{j=1}^M \frac{|g^{(E)}(t_j)|}{\sigma_j^2} g_i(t_j); \\ c_{ik} &= 4 \sum_{j=1}^M \frac{|g^{(E)}(t_j)|}{\sigma_j^2} g_i(t_j) g_k(t_j). \end{aligned} \quad (23)$$

Данные величины могут быть вычислены 1 раз перед процедурой минимизации. Поэтому наряду с точной процедурой, использующей функционал (4), реализован также алгоритм «быстрой минимизации» величины $\tilde{\chi}^2$ (22), работающий в $\sim M/N \sim 10$ раз быстрее.

В программах вместо Γ использована переменная $\gamma = \Gamma T$, где T — максимальное время на непрерывной части коррелограммы ($T = 48t_1$, t_1 — время задержки на канал коррелограммы). Распределения $P(\gamma)$ рассматривались при $\gamma \in (0, 6)$.

В программах, основанных на описанных выше алгоритмах, принималось $\sigma_j = \sigma = \text{const}$. Это оправдывается тем, что обычно «нулевая линия» значительно превосходит «полезный сигнал»: $G^{(E)}(t_1) - G^{(E)}(t_M) \ll \ll G^{(E)}(t_M)$. Таким образом, числа отсчетов во всех каналах коррелятора разнятся относительно мало. Для оценки качества подгонки по критерию χ^2 значение σ вычислялось для каждой конкретной коррелограммы по алгоритму скользящего сглаживания. При этом среднеквадратичное отклонение g^s от $g^{(E)}$ есть $\delta = \sqrt{\sigma^2 \chi^2 / M}$.

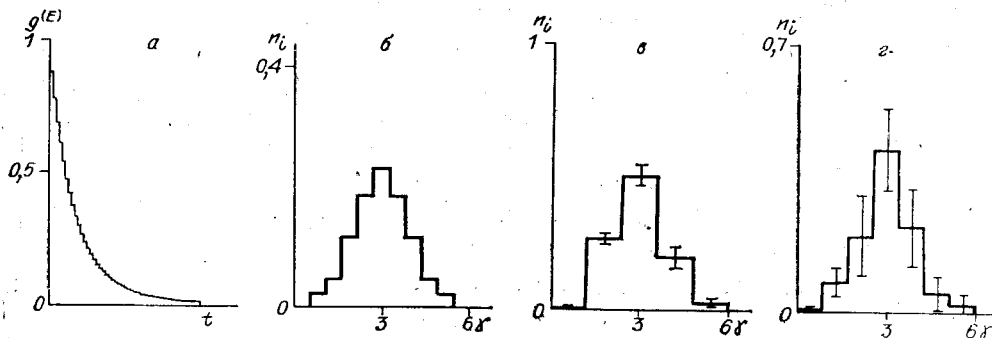


Рис. 2. Модельная коррелограмма (а); исходная гистограмма одномодального распределения по γ (б); восстановленные гистограммы распределения с $N = 5; 7$ (в, г). Зашумление модельной коррелограммы отсутствует. Приведенные ошибки гистограмм — оценки стандартного отклонения единичного решения обратной задачи со случайным начальным вектором.

3. Тестирование алгоритмов с помощью численного моделирования по методу Монте-Карло и натурного эксперимента. Численное моделирование проводилось путем задания некоторого исходного набора n_i и вычисления модельной коррелограммы

$$G^{(E)}(t_j) = \left[\sum_{i=1}^N n_i g_i(t_j) \right]^2 + \xi_j, \quad (24)$$

где «шум» ξ_j — некоррелированные при разных j гауссовые случайные величины с нулевым средним и (не зависящим от j) стандартным отклонением σ . Далее описанным выше образом решалась обратная задача и найденные значения n_i сравнивались с исходными. Поскольку реальные распределения являются гладкими, то число столбцов гистограммы при моделировании выбиралось большим ($N = 11$), чем при решении обратной задачи ($N = 5; 7$). С целью исследования устойчивости обработки по отношению к выбору исходного вектора итеративного процесса в качестве $x^{(0)}$ для каждой коррелограммы генерировался случайный вектор (с равномерным распределением на единичной гиперсфере). Статистика накапливалась по разным реализациям модельной коррелограммы. Аналогичная процедура статистической обработки применялась и в натурном эксперименте (см. далее). Во всех случаях размер выборки составлял 12.

На рис. 2 представлены результаты исследования для одномодального распределения без «зашумления» ($\sigma = 0$). Показаны коррелограмма, исходная гистограмма ($N = 11$), а также гистограммы распределений (т. е. значения n_i), полученные путем решения обратной задачи ($N = 5; 7$). На рис. 3 — то же самое, но для бимодального исходного распределения. В качестве ошибок гистограмм здесь и далее отложены выборочные оценки стандартного отклонения для единичной обработки. Для приведенных на рисунках средних гистограмм ошибки, разумеется, в $\sqrt{12}$ раз меньше.

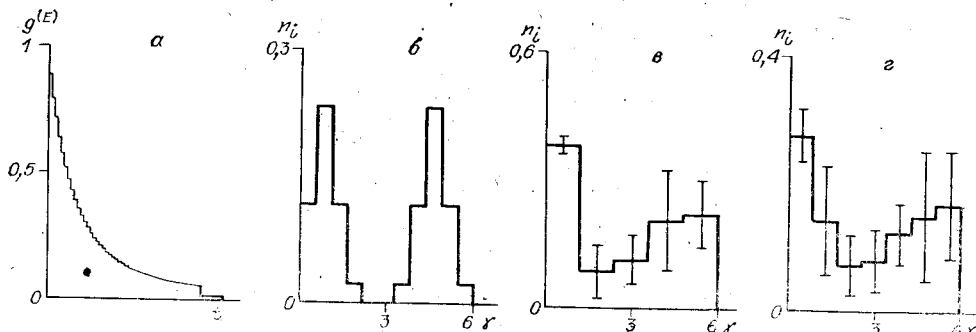


Рис. 3. То же, что и на рис. 2, но для бимодального распределения

Результаты статистической обработки модельных коррелограмм: выборочные

Параметры исходного распределения	N=7					
	σ	δ	χ^2	$\bar{\gamma}$	$\Delta\bar{\gamma}$	$\bar{\gamma}_c$
Одномодальное $\bar{\gamma} = 3,0$ $\Delta\bar{\gamma} = 0,95$	0	$1,8(9) \times 10^{-4}$	—	3,00(1)	0,95(7)	3,08
	0,002	0,0021(2)	59(14)	3,02(2)	1,02(8)	3,06(3)
	0,01	0,0104(9)	59(10)	3,05(9)	1,1(2)	3,1(1)
Бимодальное $\bar{\gamma} = 2,80$ $\Delta\bar{\gamma} = 1,95$	0	$0,7(4) \times 10^{-3}$	—	2,76(6)	2,0(1)	2,74
	0,002	0,0022(1)	67(9)	2,76(3)	1,95(5)	2,72(4)
	0,01	0,0102(1)	57(1)	2,78(7)	2,0(1)	2,7(1)
Натурный эксперимент с суспензией латексных сфер (средний диаметр 0,28 соответствует $\bar{\gamma} = 3,1$)	0,003	0,0033(7)	68(20)	2,90(4)	1,3(1)	3,03(4)
	0,01	0,010(2)	55(22)	2,8(1)	1,2(4)	3,1(2)

П р и м е ч а н и е. После каждого среднего в скобках указана оценка стандартного отклонения обратной задачи (для указанных средних ожидаемые ошибки в $\sqrt{12}$ раз меньше); $\bar{\gamma}_c$ — оценка $\bar{\gamma}$, полученная от модельной (усреднение по точкам коррелограммы и по разным реализациям); для $\Delta\bar{\gamma}$ — оценка по алгоритму скользящего слаживания.

Подчеркнем, что в представленных на рис. 2, 3 данных случайность в коррелограммах отсутствует. Весь разброс гистограмм обусловлен случайностью в выборе начального вектора $x^{(0)}$. Наблюдаемая зависимость от начальной точки — следствие некорректности обратной задачи.

Выборочные оценки параметров для указанных (и прочих модельных) коррелограмм приведены в таблице. Обратим внимание на важную особенность: в случае незашумленных ($\sigma = 0$) коррелограмм среднеквадратичное относительное отклонение δ теоретической (восстановленной) коррелограммы $g^{(2)}$ от исходной (модельной) $g^{(E)}$ весьма мало. Оно составляет лишь $\lesssim 2 \cdot 10^{-4}$ для одномодального распределения и $(5-7) \times 10^{-4}$ для бимодального. Таковые отклонения много меньше, чем минимальное зашумление коррелограмм, которое может быть достигнуто в реальном эксперименте (обычно за 10 мин накопления удается получить $\sigma \geq 0,002$).

Таким образом, несмотря на то что (как видно из приведенных на рис. 2, 3 ошибок) индивидуальные восстановленные распределения могут значительно отличаться от исходного, соответствующие коррелограммы совершенно несущественно (по сравнению с реальными шумами) отличаются от модельных. Данное обстоятельство также является следствием некорректности обратной задачи.

Рассмотрим обработку зашумленных коррелограмм. Исследовались выборки модельных коррелограмм с дисперсией значения канала $\sigma = 0,002$ и $\sigma = 0,01$. Соответствующие коррелограммы и гистограммы приведены на рис. 4, 5 (оценки средних параметров см. в таблице). Из этих данных можно сделать вывод, что влияние некорректности обратной задачи увеличивается с ростом числа параметров гистограммы; оно сильнее для бимодальных распределений, чем для одномодальных.

Обсудим данные, приведенные в таблице. Из значения χ^2 следует, что во всех случаях зашумления нет противоречия с нулевой гипотезой: отличие теоретической коррелограммы от модельной обусловлено только шумами последней; систематических отклонений нет. Величина $\bar{\gamma}$ находится во всех случаях с очень высокой точностью, и весьма удовлетворительно определяется также интегральная полуширина распределения $\Delta\bar{\gamma}$. Хотя определение $\bar{\gamma}$ по методу кумулянтов и приводит к небольшой ($\approx 3\%$) систематической ошибке (в большую сторону для одномодальных и меньшую для бимодальных распределений), оценка $\bar{\gamma}_c$ явно полезна,

оценки (по выборке из 12 коррелограмм для каждого значения σ)

$N=5$					
σ	δ	χ^2	$\bar{\gamma}$	$\Delta\bar{\gamma}$	$\bar{\gamma}_c$
0	$1,2(4) \times 10^{-4}$	—	3,00(4)	0,98(2)	3,08
0,002	0,0020(2)	57(10)	3,01(1)	1,00(6)	3,08(4)
0,01	0,0105(9)	55(8)	3,07(7)	1,2(2)	3,1(1)
0	$0,5(2) \times 10^{-3}$	—	2,79(3)	1,96(7)	2,74
0,002	0,0021(2)	58(9)	2,79(3)	1,97(5)	2,72(3)
0,01	0,0097(7)	52(8)	2,78(6)	1,95(9)	2,7(2)
0,002	0,0029(5)	51(17)	2,96(5)	1,4(2)	3,04(3)
0,01	0,009(1)	56(11)	3,1(2)	1,2(6)	3,2(2)

нения в единицах последнего приведенного знака. Последнее рассчитано для единичного решения полученная по методу кумулянтов; δ — среднеквадратичное отклонение значения рассчитанной коррелатурного эксперимента σ — оценка стандартного отклонения канала коррелограммы, получен-

поскольку может находиться в реальном темпе накопления коррелограмм (что и реализовано в программах).

Прямой проверкой установлено, что средняя гистограмма также хорошо (по критерию χ^2) описывает исходные коррелограммы. Этот результат не вполне тривиален, поскольку рассматриваемая задача мини-

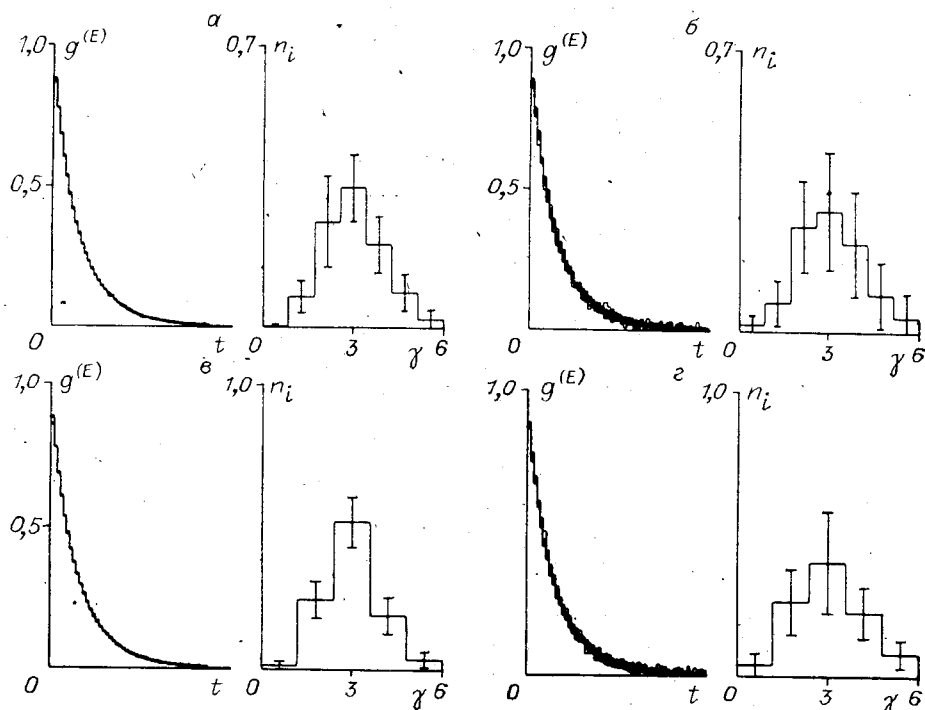


Рис. 4. Зашумленные коррелограммы и полученные путем их обработки средние (по выборке) гистограммы.

Коррелограммы, являющиеся разными реализациями зашумления исходной корреляционной функции, наложены друг на друга с тем, чтобы визуально показать характер их зашумления. Приведенные ошибки гистограмм — оценки стандартного отклонения столбца гистограммы для единичного решения обратной задачи со случайным начальным вектором x' , найденные по выборке из 12 модельных коррелограмм: $a - \sigma = 0,002, N = 7$; $b - \sigma = 0,01, N = 7$; $c - \sigma = 0,002, N = 5$; $g - \sigma = 0,01, N = 5$. (Случай одномодального исходного распределения)

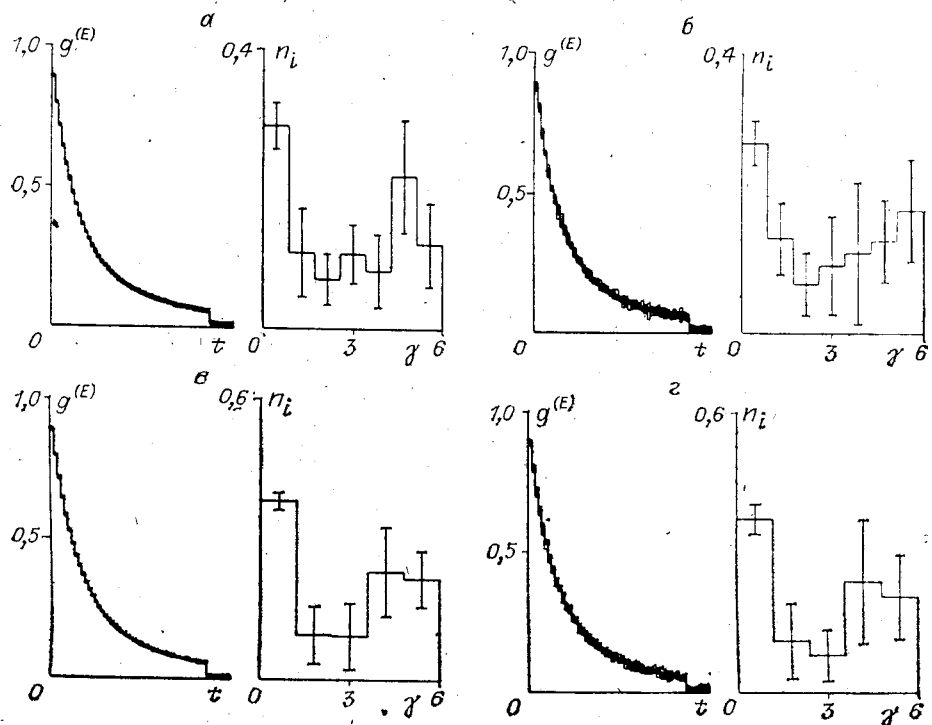


Рис. 5. То же, что и на рис. 4, но для бимодального исходного распределения

мизации нелинейна. Однако отклонения теоретических функций $g^{(2)}$ от экспериментальных $g^{(E)}$ обычно малы (см. выше). Условие минимизации функционала приближенно сводится к системе линейных по n_i уравнений (ср. с (20)). Если некоторые наборы n_i — решения этой системы, то и произвольная их суперпозиция также является решением. Одной из таких суперпозиций и будет средняя гистограмма, которая, следовательно, также минимизирует исходный функционал.

Таким образом, при объеме выборки ≥ 12 средняя гистограмма с удовлетворительной точностью (относительная ошибка $\sim 10\%$) воспроизводит исходное распределение. Подчеркнем, что для малозашумленных коррелограмм ($\sigma \leq 0,002$) усреднение достаточно проводить по обработкам одной коррелограммы с различными начальными векторами $x^{(0)}$. Подобное усреднение с использованием метода Монте-Карло является альтернативным методом решения некорректной обратной задачи спектрографии квазиупругого рассеяния, которое существенно отличается от обычно используемых методов регуляризации по Тихонову [10].

В натурном эксперименте рассеивающей системой была суспензия латексных сфер в воде. Угол рассеяния $\Theta = 45^\circ$, время задержки на канал $t_1 = 0,4$ мс. Коррелограммы накапливались до требуемых заполнений: $\sigma = 0,01$ (типичное время регистрации 30 с) и $\sigma = 0,003$ (время накопления ≈ 5 мин). Количество измеренных коррелограмм каждого типа составляло 24. Половина указанного количества обрабатывалось с $N = 7$, а вторая половина — с $N = 5$.

Суперпозиции экспериментальных коррелограмм, а также оценки средних гистограмм и ошибок единичной обработки приведены на рис. 6; выборочные оценки средних параметров и стандартных ошибок см. в таблице.

Как можно видеть из сравнения рис. 6 с рис. 4, 5, в натурном эксперименте наблюдается повышенная (по отношению к моделированию по методу Монте-Карло при тех же самых значениях σ) вариабельность коррелограмм. Величина вариабельности примерно такая же или несколько больше, чем статистический шум каналов σ (оцененный для

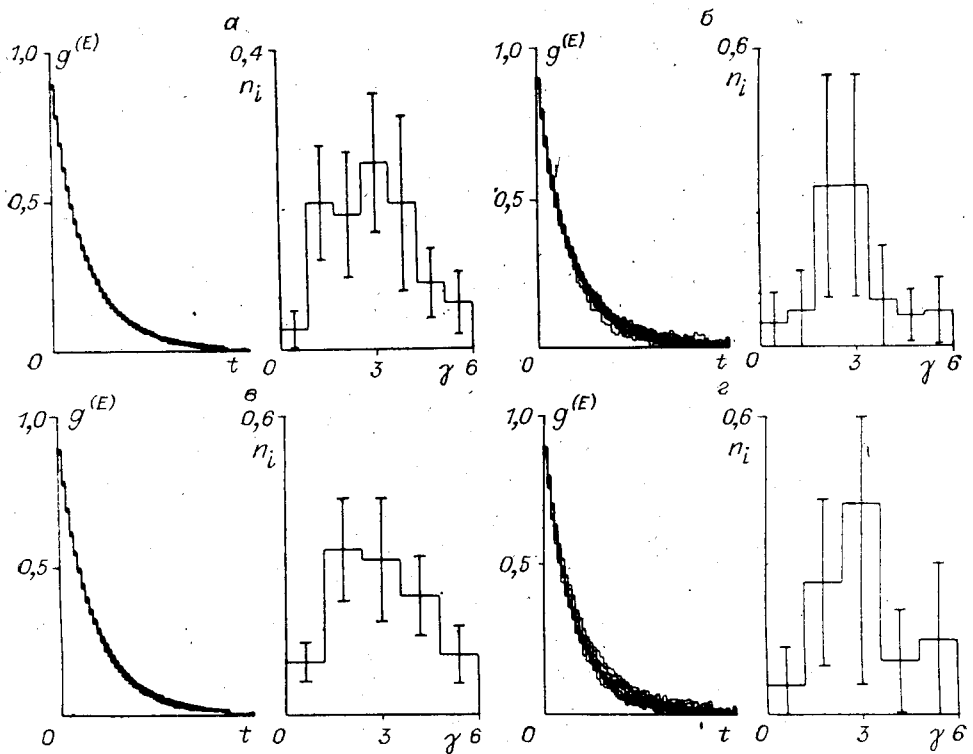


Рис. 6. То же, что и на рис. 4, но для натурного эксперимента с суспензией латексных сфер:

σ — оценка стандартного отклонения канала коррелограммы, найденная по алгоритму скользящего сглаживания: $a - \sigma = 0,003, N = 7$; $b - \sigma = 0,01, N = 7$; $c - \sigma = 0,003, N = 5$; $d - \sigma = 0,01, N = 5$

данной коррелограммы по алгоритму скользящего сглаживания); она так же, как и σ , уменьшается с увеличением времени накопления T_a (примерно пропорционально $T_a^{-1/2}$). Последнее показывает, что коррелограмма случайным образом флюкутирует во времени. Причиной вариабельности коррелограмм, по-видимому, являются случайные гидродинамические потоки в растворе. Вместе с тем результаты рис. 6 показывают, что примерно около двух часов, в течение которых проводился эксперимент с требуемым значением $\sigma = 0,003$, систематическое смещение коррелограммы составило не более чем $\approx 0,3\%$ (по отношению к первому каналу).

Гистограммы на рис. 6 определяются большим разбросом, чем на рис. 4, 5; это, по-видимому, обусловлено упомянутой вариабельностью коррелограмм. Точность определения средних гистограмм распределений приемлема ($\approx 10\%$) для $\sigma = 0,003$ и недостаточна для $\sigma = 0,01$. Видно, что использованные латексы достаточно полидисперсны; их распределение одномодально.

Из таблицы видно, что значения $\bar{\gamma}$ находятся примерно с такой же точностью, как и при моделировании с близкими σ (ср. с таблицей). Точность нахождения величины $\Delta\bar{\gamma}$ примерно такая же, как при численном моделировании при $\sigma = 0,003$ и в несколько раз хуже для $\sigma = 0,01$. Значения χ^2 показывают, что полученным данным не противоречит нулевая гипотеза об отсутствии систематических отклонений $g^{(2)}$ от $g^{(E)}$.

Средний диаметр частиц выражается через $\bar{\gamma}$ согласно

$$\mathcal{D} [\text{мкм}] = 14,9 \frac{1}{\bar{\gamma}} t_1 [\text{мс}] \frac{1}{\eta [\text{сП}]} \sin^2 \frac{\Theta}{2}, \quad (25)$$

где η — вязкость раствора. Подстановка в (25) среднего значения $\bar{\gamma} = 2,93 \pm 0,01$ (по данным таблицы; здесь и ниже указаны ошибки среднего) дает средний диаметр частиц в растворе $D = 0,298 \pm 0,001$ мкм, который находится в разумном согласии с паспортным диаметром латексов 0,28 мкм (менее точно, по-видимому, известна последняя величина). По данным таблицы можно также проследить воспроизводимость параметров во времени. Для коррелограмм с $\sigma = 0,003$ из серии, обрабатываемой при $N=7$, найдено: $D = 0,301 \pm 0,002$ мкм, полуширина распределения по D $\Delta D = 0,135 \pm 0,003$ мкм; из серии $N=5$ — $D = 0,295 \pm 0,002$ мкм; $\Delta D = 0,140 \pm 0,006$ мкм. Результаты определения данных параметров хорошо согласуются между собой, хотя две указанные серии коррелограмм накапливались в течение примерно часа каждая с таким же промежутком между ними.

Таким образом, исследование представленных однородных выборок приводит к следующим заключениям. Восстановление распределения по размерам частиц возможно при статистическом разбросе каналов коррелограммы не более нескольких десятых долей процента (таковой разброс достигается на описываемом приборе примерно за 5 мин накопления). Относительные статистические ошибки определения среднего по выборке из 12 коррелограмм составляют для среднего размера $\approx 0,7\%$; полуширины распределения по размерам $\approx 2\%$. Невоспроизводимость указанных величин на временах порядка часов не превышает их статистических ошибок, что позволяет исключить наличие систематических ошибок, изменяющихся во времени.

Высокая точность определения среднего размера позволила с помощью описанного спектрометра изучить неизвестную ранее кинетику ранней стадии иммунологической реакции агглютинации и обнаружить критический (подобный поведению при фазовых переходах) характер зависимости от концентрации сыворотки [11].

4. Пакет программ, поддерживающий автоматизированный корреляционный спектрометр. Программы, поддерживающие корреляционный спектрометр, написаны на языке Фортран-IV; подпрограммы обслуживания КАМАК-модулей — на языке Ассемблера Макро-11. Программы работают в операционной среде RT-11 на ЭВМ «Электроника» и СМ, начиная с Э 60. Требуемая оперативная память 28 К. Пакет состоит из следующих программ.

Программа COR. В режиме реального времени управляет коррелятором; по алгоритму скользящего слаживания находит разброс каналов коррелограммы σ ; по методу кумулянтов определяет средний размер частиц (параметр $\bar{\gamma}_c$); контролирует расход времени на накопление коррелограммы. Коррелограммы и данные протокола эксперимента (заголовок коррелограммы, дата, время регистрации, статистический разброс σ) во внутреннем формате записываются в файл прямого доступа с длиной записи 256 слов (1 блок).

Программа FIT. Обрабатывает коррелограммы по методу гистограмм, используя минимизацию функционалов χ^2 (4) (основной режим) и (или) $\tilde{\chi}^2$ (22) (режим быстрой минимизации). Результат обработки упаковывает и помещает в ту же запись файла прямого доступа, где хранится исходная коррелограмма. Программа работает с произвольным набором базисных функций (см. п. 2), который считывает с указанного неформатированного файла на внешнем накопительном устройстве.

Программа DIS. Декодирует информацию, хранимую в файле прямого доступа; визуализирует результаты обработки; обеспечивает вывод графической информации на дисплей и плоттер. Дополнительными функциями данной программы является сортировка коррелограмм (с записью выбранных коррелограмм в указанный дополнительный файл прямого доступа); накопление статистики по однородным выборкам коррелограмм и их обработок. С помощью данной программы получены данные, представленные на рис. 2—6 и в таблице.

Программа BAS. Вычисляет набор базисных функций (16) для метода, описанного в работе, использует его в указанной нее, как и программа FIT).

Указанные программы находятся в активной эксплуатации более двух лет и успешно применяются для решения ряда задач.

ЛИТЕРАТУРА

1. Спектроскопия оптического смещения и корреляция фотопов/Под ред. Х. Каммисса и Э. Пайка.— М.: Мир, 1978.
2. Chu B., Gulari Es., Gulari Er. Photon correlation measurements of colloidal size distributions // Phys. Scr.— 1979.— V. 19, N 4.— P. 476—485.
3. Layer H. P. Acoustooptic modulator intensity "servo" // Appl. Opt.— 1979.— V. 18, N 17.— P. 2964—2967.
4. Одноэлектронные фотоприемники/Под ред. А. Н. Перцева.— М.: Атомиздат, 1979.
5. Chen S. H., Veldkamp W. B., Lai C. C. Simple digital clipped correlator for photon correlation spectroscopy // Rev. Sci. Instr.— 1979.— V. 46, N 10.— P. 1356—1367.
6. Ерш И. Г., Яковин Д. В. Быстродействующий коррелятор фотонов // Автометрия.— 1985.— № 2.
7. Тихонов А. Н., Арсенин В. Я. Методы решения некорректных задач.— М.: Наука, 1979.
8. Koppel D. E. Analysis of macromolecular polydispersity in intensity correlation spectroscopy: the method of cumulants // J. Chem. Phys.— 1972.— V. 57, N 11.— P. 4814.
9. Zimmerman K., Delaye M., Licinio P. Analysis of multiexponential decay by linear programming method: application to light scattering spectroscopy // J. Chem. Phys.— 1985.— V. 82, N 5.— P. 2228—2235.
10. Braginskaya T. G., Dobichin P. D., Ivanova M. A. e. a. Analysis of the polydispersity by photon correlation spectroscopy // Phys. Scr.— 1983.— V. 26, N 3.— P. 309—315.
11. Ерш И. Г., Муратов Л. С., Новожилов С. Ю. и др. Кинетика иммунологической реакции агглютинации и экспрессное определение бактерий с помощью автоматизированного лазерного фотон-корреляционного спектрометра // ДАН СССР.— 1986.— № 5.

Поступила в редакцию 13 мая 1986 г.

УДК 621.397 : 621.385

Ю. В. БОНДАРЕНКО, В. Я. БУДЦЕВ, А. Н. КАСПЕРОВИЧ,
В. И. ПРОКОПЕНКО
(Новосибирск)

АВТОМАТИЗИРОВАННЫЙ МНОГОКАНАЛЬНЫЙ РЕГИСТРАТОР ОПТИЧЕСКИХ СПЕКТРОВ

Для регистрации оптических изображений малой интенсивности и длительности перспективными представляются системы на основе телевизионных передающих ЭЛТ [1—4]. Включение в такие системы мини-ЭВМ позволяет получить эффективные комплексы для регистрации и обработки изображений [5—7].

Испытания регистратора одномерных изображений [4] показали перспективность использования в качестве приемника изображения супервидикона ЛИ-702 (суперкремникона) и позволили определить направление дальнейших работ. Было решено разработать специализированную телевизионную передающую камеру (КТП), повысить разряд-